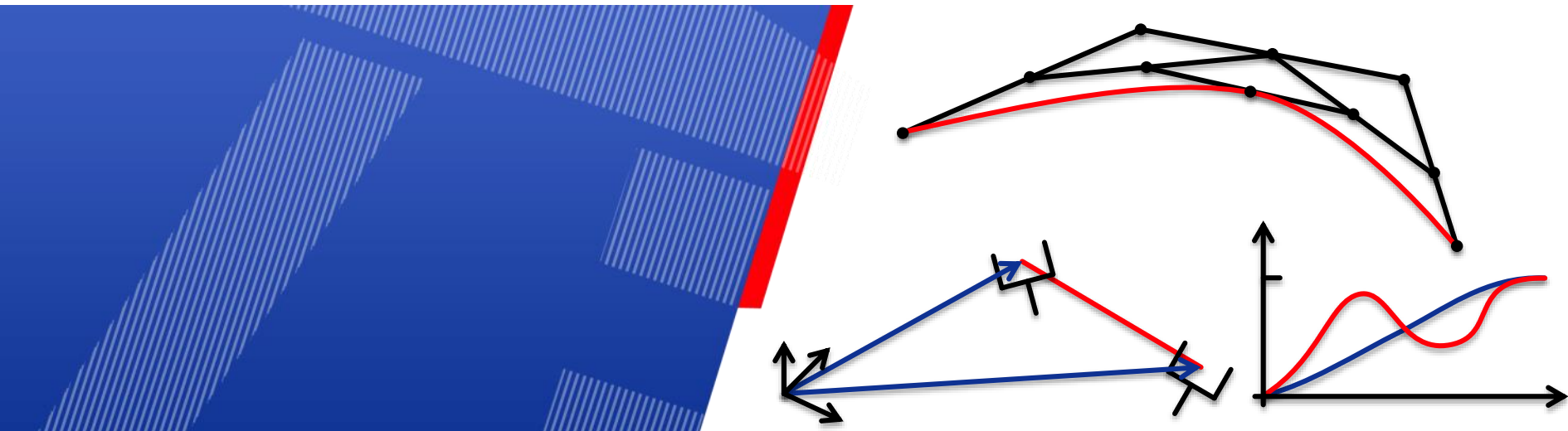


Bahnsteuerung und Interpolation



Prof. Karsten Berns

Robotics Research Lab

Department of Computer Science

University of Kaiserslautern, Germany

Inhalt

- Grundlagen der Bahnsteuerung
- Planungsarten
- Bahnsteuerung
- Spline-Interpolation

Grundlagen der Bahnsteuerung

- Roboterbewegungen werden als Zustandsänderungen über die Zeit (Trajektorie) relativ zu einem stationären KS (kartesischer Raum, Gelenkwinkelraum) aufgefasst
- Häufig Berücksichtigung von Gütekriterien, Neben-, Rand- und Zwangsbedingungen
- Gegeben
 - Manipulatorstellung zum Startzeitpunkt (in kartesischen Koordinaten \vec{y}_{start} oder im Konfigurationsraum $\vec{\theta}_{start}$)
 - Manipulatorstellung zum Zielzeitpunkt (\vec{y}_{Ziel} bzw. $\vec{\theta}_{Ziel}$)
- Gesucht
 - Trajektorie, welche den Manipulator vom Startpunkt zum Zielpunkt überführt

Planungsarten

- PTP: Point to Point
 - Planung der Bewegung im Konfigurationsraum
 - Zeitoptimale Bahn
 - Kartesischer Bahnverlauf nicht bekannt
 - Anwendung: Punktschweißen, Handhabungsaufgaben, ...
- CP: Continuous Path
 - Bahnsteuerung im kartesischen Raum
 - Bahnverlauf kann an gegebene Form angepasst werden
 - Bahnverlauf außerhalb des Arbeitsraums möglich
 - Grenzwertüberschreitung von Gelenkbeschl. möglich
 - Anwendung: Bahnschweißen, Laserschneiden, Lackieren, ...

PTP: Bewegungsphasen der Gelenke

1. Beschleunigung
2. Bewegung mit maximaler oder gewünschter Geschwindigkeit
3. Abbremsung, Ruhestellung ist Zielstellung

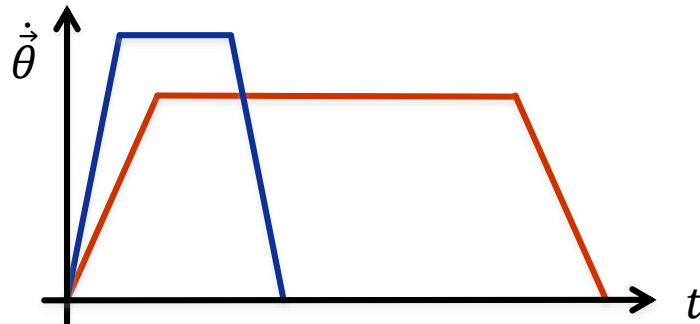
PTP: Ablauf der Planung

- Änderungsberechnung jeder Stellgröße $\vec{\theta}_{Ziel} - \vec{\theta}_{Start}$
- Bestimmung der Beschleunigungs- und Bremsdauer
- Ermittlung der Zeitspanne, in der das Gelenk mit maximaler Geschwindigkeit bewegt wird
 - Entfällt falls nötige Änderung zu gering um maximale Geschwindigkeit zu erreichen
- Generieren der Trajektorie
- Vorgegebenen Stellgrößen können erhalten werden durch ...
 - Teach-In
 - Direkte Vorgabe
 - Ausgabe der inversen Kinematik

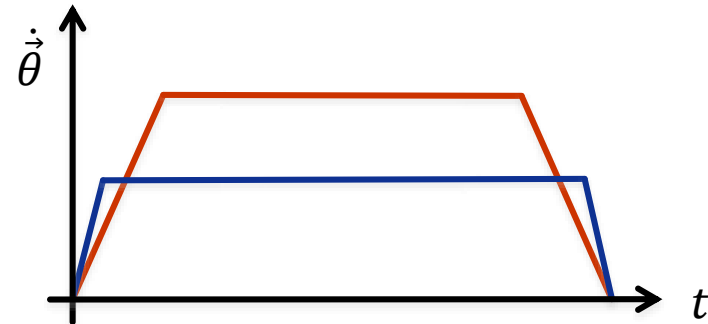
PTP: Synchronisationsarten

- Asynchron
 - Planung der Achsen unabhängig voneinander
- Synchron
 - Bewegung aller Achsen beginnt und endet gleichzeitig
 - Langsamstes Gelenk als Referenz (Leitachse, Leitgelenk)
 - Vorteil: geringere Belastung der Mechanik
- Vollsynchron
 - Angleichung der Beschleunigungs- und Bremszeiten
 - Vorteil: glattere Bewegungsbahn im kartesischen Raum
 - Nachteil: Beschleunigung muss vorgegeben werden

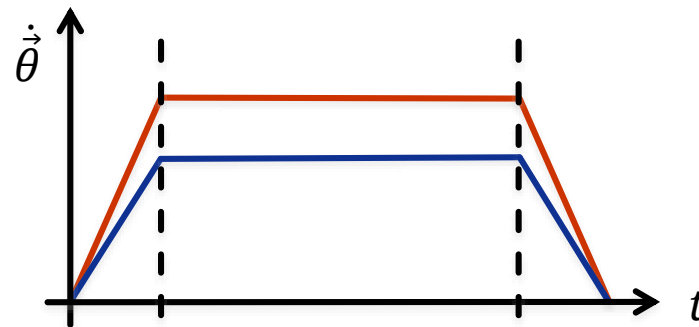
PTP: Synchronisationsarten



Asynchrone PTP



Synchrone PTP



Vollsynchrone PTP

PTP: Punkt-zu-Punkt-Steuerung

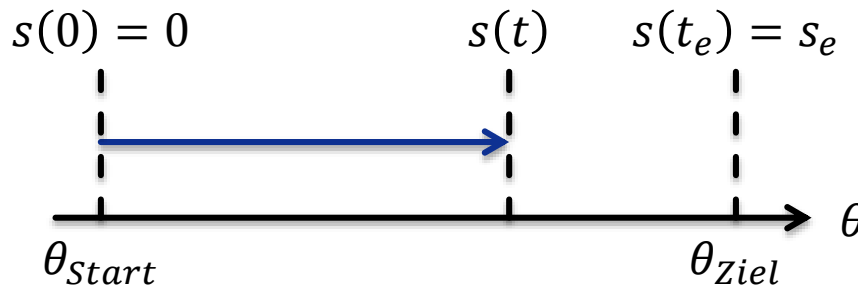
- Vorteile
 - Einfache Berechnung der Stellgrößentrajektorie
 - Berechnung ohne Probleme mit Singularitäten
 - Einfache Berücksichtigung von roboterspezifischen Besonderheiten wie Gelenkwinkelarbeitsbereiche, max. Gelenkgeschwindigkeiten und Beschleunigungen
 - Zeitoptimale Bewegungsbahn
- Nachteile
 - Exakte kartesische Bahn schwer vorhersehbar

PTP: Randbedingungen

- Start- und Zielzustand bekannt
 - $\vec{\theta}(t_{start}) = \vec{\theta}_{start}$
 - $\vec{\theta}(t_{ziel}) = \vec{\theta}_{ziel}$
- Geschwindigkeit zu Beginn und Ende Null
 - $\dot{\vec{\theta}}(t_{start}) = \vec{0}$
 - $\dot{\vec{\theta}}(t_{ziel}) = \vec{0}$
- Arbeitsbereich, Geschwindigkeit und Beschleunigung der Gelenke sind begrenzt
$$\vec{\theta}_{min} \leq \vec{\theta}(t_j) \leq \vec{\theta}_{max} \quad \vec{0} \leq \dot{\vec{\theta}}(t_j) \leq \dot{\vec{\theta}}_{max} \quad \ddot{\vec{\theta}}_{min} \leq \ddot{\vec{\theta}}(t_j) \leq \ddot{\vec{\theta}}_{max}$$
 - Begrenzungen können auch unabhängig von Mechanik gewählt werden, um z.B. schnelle Beschleunigung bei gleichzeitigem langsamen Abbremsen zu realisieren

PTP: Ablauf der Steuerung

- Bahnparameters $s(t)$: Beschreibt ...
 - ... zurückzulegende Strecke bei Schubgelenken
 - ... zu drehenden Winkel bei Rotationsgelenken
- Vorgaben
 - Verallgemeinerte Größen $s(t), v(t), a(t)$
 - Maximale Geschwindigkeit v_{max} und Beschleunigung a_{max}
 - Start- und Endstellung $\theta_{Start}, \theta_{Ziel}$

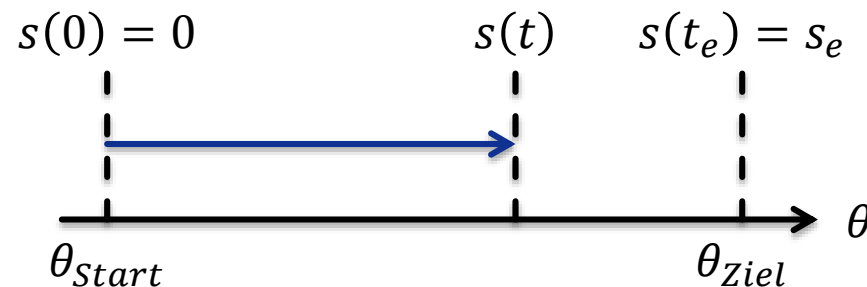


$$\begin{aligned} s(0) &= \dot{s}(0) = v(0) = 0 \\ \dot{s}(t_e) &= v(t_e) = 0 \end{aligned}$$

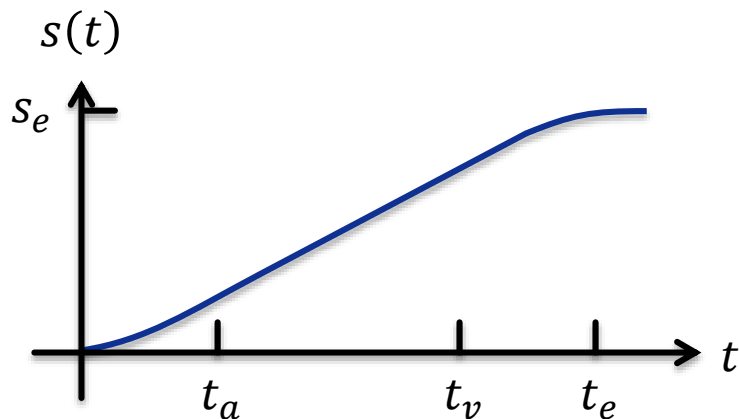
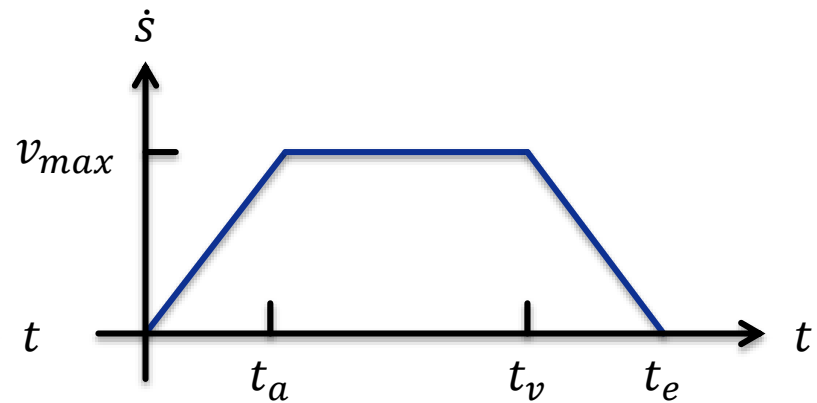
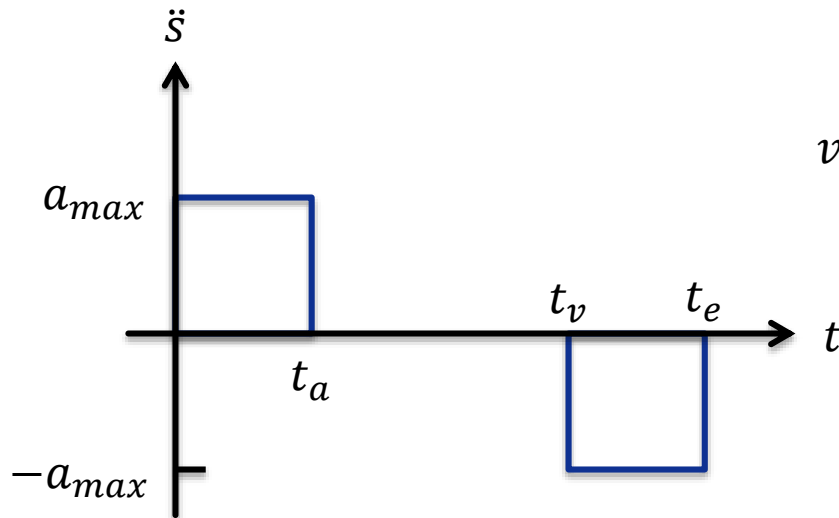
PTP: Ablauf der Steuerung

1. Berechnung zu fahrender Strecke s_e für jedes Gelenk

$$s_e = |\theta_{Ziel} - \theta_{Start}|$$
2. Modifikation der Eingaben v_{max} und a_{max} bei synchroner oder vollsynchroner PTP
3. Berechnung der Fahrzeit t_e , Beschleunigungszeit t_a und Beginn der Bremszeit t_v
4. Interpolation: Berechnung der Zwischenwerte $s(t), \dot{s}(t), \ddot{s}(t)$
5. Ermittlung der Gelenksollwerte $\theta(t), \dot{\theta}(t), \ddot{\theta}(t)$



PTP: Rampenprofil für Interpolation



$$s_e = |\theta_{Ziel} - \theta_{Start}|$$

$$t_a = \frac{v_{max}}{a_{max}}$$

$$t_e = \frac{s_e}{v_{max}} + t_a$$

$$t_v = t_e - t_a$$

PTP: Berechnung der Parameter

- Beschleunigungszeit $t_a = \frac{v_{\max}}{a_{\max}}$
- Integration über die Geschwindigkeit
 $s_e = s(t_e) = v_{\max} \cdot t_a + v_{\max} \cdot (t_v - t_a) = v_{\max} \cdot t_a + v_{\max} \cdot (t_e - 2 \cdot t_a)$
- Berechnung der Fahrzeit

$$t_e = \frac{s_e}{v_{\max}} + t_a = \frac{s_e}{v_{\max}} + \frac{v_{\max}}{a_{\max}}$$

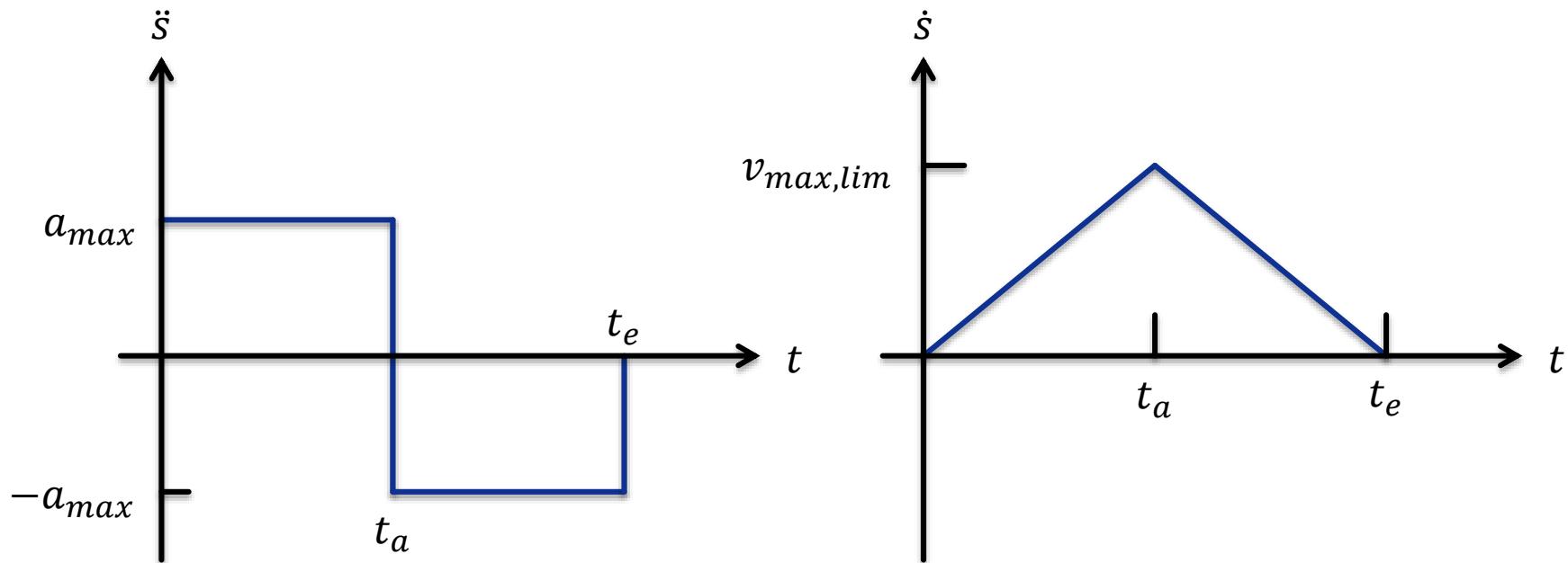
- Parameter für PTP

	$\ddot{s}(t)$	$\dot{s}(t)$	$s(t)$
$0 \leq t \leq t_a$	a_{\max}	$a_{\max} \cdot t$	$\frac{1}{2} \cdot a_{\max} \cdot t^2$
$t_a \leq t \leq t_v$	0	v_{\max}	$v_{\max} \cdot t - \frac{1}{2} \cdot \frac{v_{\max}^2}{a_{\max}}$
$t_v \leq t \leq t_e$	$-a_{\max}$	$v_{\max} - a_{\max} \cdot (t - t_v)$	$v_{\max} \cdot (t_e - t_a) - \frac{a_{\max}}{2} \cdot (t_e - t)^2$

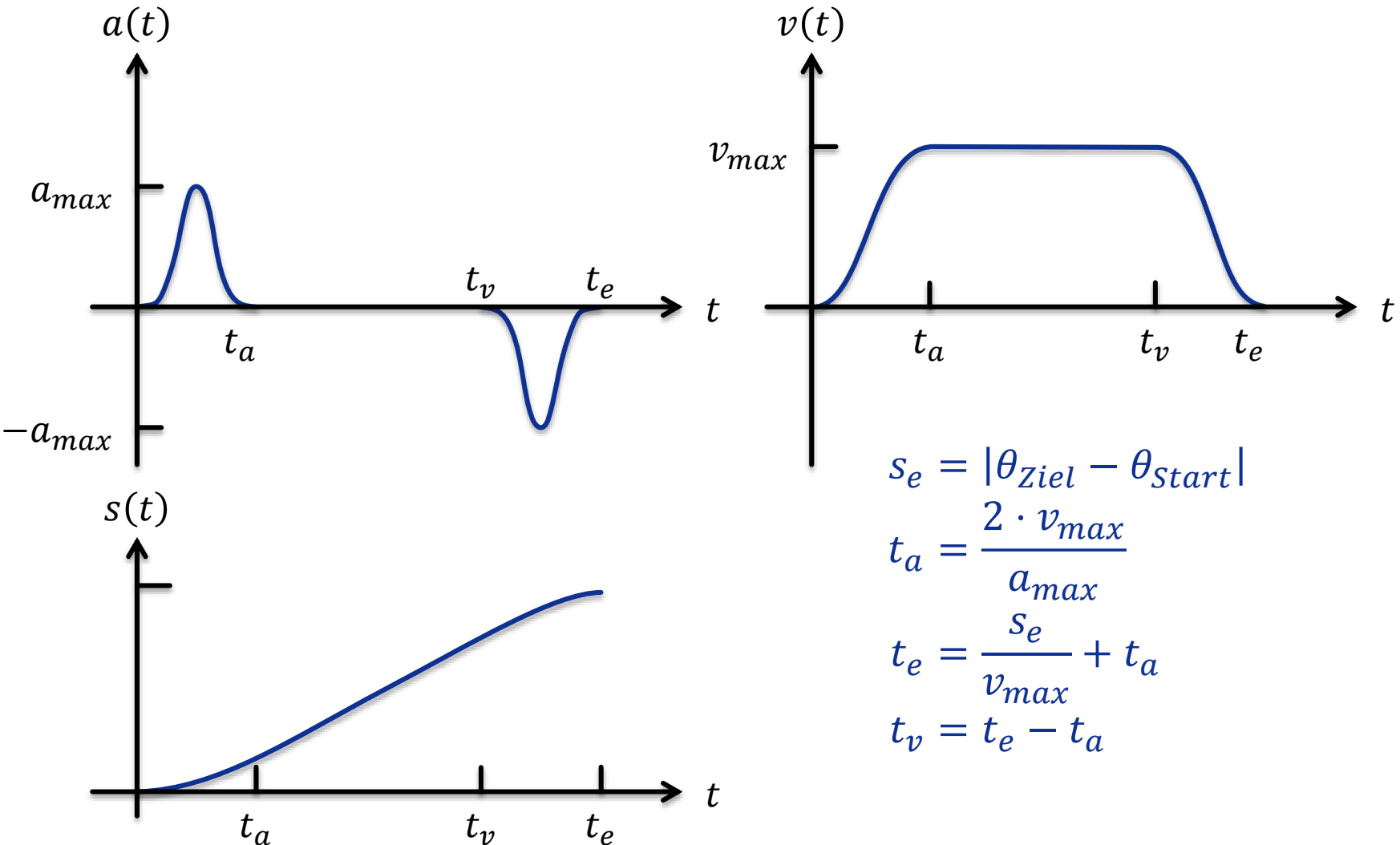
PTP: Zeitoptimale Bahn

- Falls v_{max} zu groß in Bezug auf Beschleunigung und Bahnlänge, Bestimmung einer zeitoptimalen Bahn mit

$$s_e = t_a \cdot v_{max,lim} = \frac{v_{max,lim}^2}{a_{max}} \Rightarrow \sqrt{a_{max} \cdot s_e} \leq v_{max}$$



PTP: Sinoidenprofil für PTP-Steuerung



$$s_e = |\theta_{Ziel} - \theta_{Start}|$$

$$t_a = \frac{2 \cdot v_{max}}{a_{max}}$$

$$t_e = \frac{s_e}{v_{max}} + t_a$$

$$t_v = t_e - t_a$$

PTP: Sinoidenprofil für PTP-Steuerung

$$\ddot{s}(t) = a_{\max} \cdot \sin^2\left(\frac{\pi}{t_a} \cdot t\right) \quad (1)$$

- Durch Integration von (1) nach der Zeit erhält man die Geschwindigkeit

$$\dot{s}(t) = a_{\max} \cdot \left(\frac{1}{2} \cdot t - \frac{t_a}{4 \cdot \pi} \cdot \sin\left(\frac{2 \cdot \pi}{t_a} \cdot t\right) \right) \quad (2)$$

- Für $t = t_a$ muss sich v_{\max} ergeben und man erhält aus (2)

$$t_a = \frac{2 \cdot v_{\max}}{a_{\max}} \quad (3)$$

PTP: Sinoidenprofil für PTP-Steuerung

- Zurückgelegter Weg bzw. Winkel während der Beschleunigungsphase berechnet sich durch Integration von (2) ...

$$s(t) = a_{\max} \cdot \left(\frac{1}{4} \cdot t^2 + \frac{t_a^2}{8 \cdot \pi} \cdot \left(\cos \left(\frac{2 \cdot \pi}{t_a} \cdot t \right) - 1 \right) \right) \quad (4)$$

- ... über die insgesamt zurückzulegende Weg- bzw. Winkelstrecke

$$\begin{aligned} s_e &= 2 \cdot s(t_a) + v_{\max} \cdot (t_e - 2 \cdot t_a) \\ s(t_a) &= \frac{1}{4} \cdot a_{\max} \cdot t_a^2 = \frac{v_{\max}^2}{a} \\ t_e &= \frac{s_e}{v_{\max}} + \frac{2 \cdot v_{\max}}{a_{\max}} = \frac{s_e}{v_{\max}} + t_a \end{aligned} \quad (5)$$

PTP: Sinoidenprofil für PTP-Steuerung

- In der Phase der gleichförmigen Geschwindigkeit

$$\dot{s}(t) = v_{\max}$$

$$s(t) = s(t_a) + v_{\max} \cdot (t - t_a) = v_{\max} \cdot \left(t - \frac{1}{2} \cdot t_a \right) \quad (6)$$

- Geschwindigkeit und Strecke in der Bremsphase

$$\dot{s}(t) = v_{\max} - \int_{t-t_v}^t a(\tau - t_v) \cdot d\tau$$

$$= v_{\max} - a_{\max} \cdot \left(\frac{1}{2} \cdot (t - t_v) - \frac{t_a}{4 \cdot \pi} \cdot \sin \left(\frac{2 \cdot \pi}{t_a} \cdot (t - t_v) \right) \right)$$

$$s(t) = s(t_v) + \int_{t-t_v}^t \dot{s}(\tau - t_v) \cdot d\tau \quad (7)$$

$$= \frac{a_{\max}}{2} \cdot \left[t_e \cdot (t + t_a) - \frac{t^2 + t_e^2 + 2 \cdot t_a^2}{2} + \frac{t_a^2}{4 \cdot \pi^2} \cdot \left(1 - \cos \left(\frac{2 \cdot \pi}{t_a} \cdot (t - t_v) \right) \right) \right]$$

Synchrone PTP: Vorgehensweise

1. Bestimme Bahnlänge $s_{e,i}$ für jedes Gelenk i
2. Bestimme PTP-Parameter $v_{max,i}, a_{max,i}$
3. Berechne daraus Fahrzeit $t_{e,i}$
4. Bestimme Achse mit max. Fahrzeit $t_e = t_{e,max} = \max(t_{e,i})$
 - Bestimmte Achse wird Leitachse
5. Setze $t_{e,i} = t_e$ für alle Gelenke
6. Bestimme neue Geschwindigkeit für alle Gelenke

Synchrone PTP

- Umformung der Fahrzeit t_e und Berechnung der neuen Geschwindigkeiten
- Rampenprofil

$$t_e = \frac{s_{e,i}}{v_{\max,i}} + \frac{v_{\max,i}}{a_{\max,i}}$$

- Nach Umformung $v_{\max,i}^2 - v_{\max,i} \cdot a_{\max,i} \cdot t_e + s_{e,i} \cdot a_{\max,i} = 0$
- Lösung ist kleinerer Wert, da sonst $2 \cdot t_{a,i} > t_e$ wäre $v_{\max,i} =$

$$\frac{a_{\max,i} \cdot t_e}{2} - \sqrt{\frac{a_{\max,i}^2 \cdot t_e^2}{4} - s_{e,i} \cdot a_{\max,i}}$$

- Sinoidenbahn

$$v_{\max,i} = \frac{a_{\max,i} \cdot t_e}{4} - \sqrt{\frac{a_{\max,i}^2 \cdot t_e^2 - 8 \cdot s_{e,i} \cdot a_{\max,i}}{16}}$$

Vollsynchrone PTP

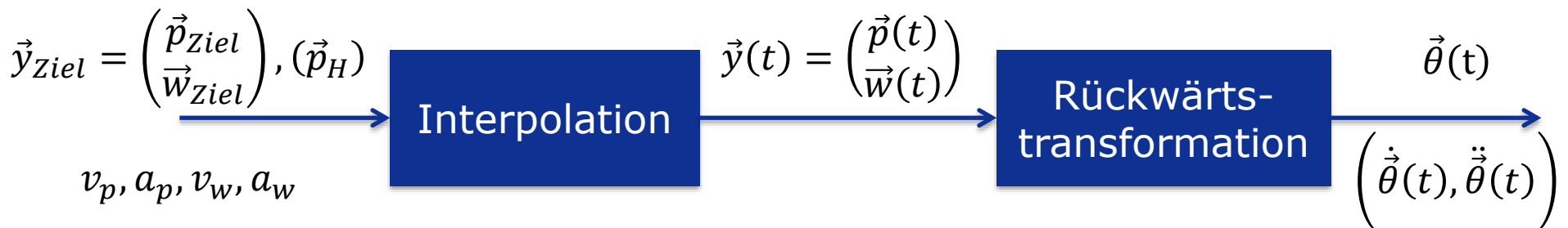
- Berücksichtigung der Beschleunigungs- und Bremszeit
- Bestimmung der Leitachse mit t_e und $t_a \rightarrow t_v = t_e - t_a$
- Bestimmung der Geschwindigkeit und Beschleunigung der anderen Achsen mit $v_{max,i} = \frac{s_{e,i}}{t_v}$ und $a_{max,i} = \frac{v_{max,i}}{t_a}$

Bahnsteuerung im kartesischen Raum (CP)

- Angabe d. Trajektorie erfolgt als Funktion der Lage des TCPs
 - z.B. mit TCP-Beschreibungsvektor: $\vec{y}_{TCP}(t)$, $\dot{\vec{y}}_{TCP}(t)$, $\ddot{\vec{y}}_{TCP}(t)$
- Funktion z.B. lineare Bahnen, Polynombahnen, Splines
- Vorteile
 - Definition des Trajektorienverlaufs explizit im kartes. Raum
 - Planung unabhängig von Roboterkinematik
- Nachteile
 - Berechnung der Gelenkwinkelrücktransformation für jeden Trajektorienpunkt
 - Geplante Trajektorie nicht immer ausführbar (Begrenzung des Arbeitsraumes, Singularitäten des Roboters)
 - Achsbezogene Grenzwerte können nicht berücksichtigt werden

Bahnsteuerung im kartesischen Raum (CP)

- **Vorgaben**
 - Vektor zum Zielpunkt $\vec{p}_{Ziel} = (x_{Ziel}, y_{Ziel}, z_{Ziel})^T$
 - Zielorientierung (Euler-Winkel) $\vec{w}_{Ziel} = (\alpha_{Ziel}, \beta_{Ziel}, \gamma_{Ziel})^T$
 - Hilfspunkt (optional) $\vec{p}_H = (x_H, y_H, z_H)^T$
 - Lineargeschwindigkeit und -beschleunigung v_p, a_p
 - Rotationsgeschwindigkeit und -beschleunigung v_w, a_w
- **Randbedingungen**
 - Maximalgeschw. und -beschleunigungen der Gelenke

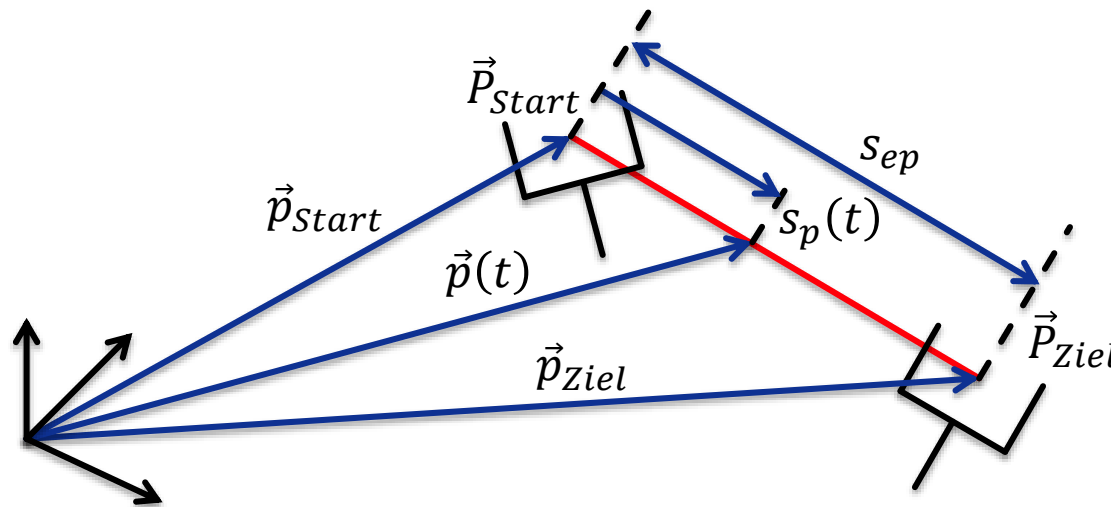


CP: Linearinterpolation

- Bahnparameter $s_p(t)$ beschreibt zurückgelegte Wegstrecke zum Zeitpunkt t
- Gesamte Wegstrecke

$$s_{ep} = |\vec{p}_{Ziel} - \vec{p}_{Start}|$$

$$= \sqrt{(x_{Ziel} - x_{Start})^2 + (y_{Ziel} - y_{Start})^2 + (z_{Ziel} - z_{Start})^2}$$



CP: Linearinterpolation

- Randbedingungen

$$s_p(0) = \dot{s}_p(0) = v_p(0) = 0$$

$$\dot{s}_p(t_e) = v_p(t_e) = 0$$

- Mit

$$v_{\max} = v_p \quad a_{\max} = a_p$$

$$t_e = t_{ep} \quad t_a = t_{ap} \quad t_v = t_{vp}$$

$$s_e = s_{ep} \quad s = s_p$$

kann $s_p(t)$ durch die bekannten Gleichungen der PTP, mit eines Sinoiden- oder Rampenprofils berechnet werden

- Position des TCPs zum Zeitpunkt t

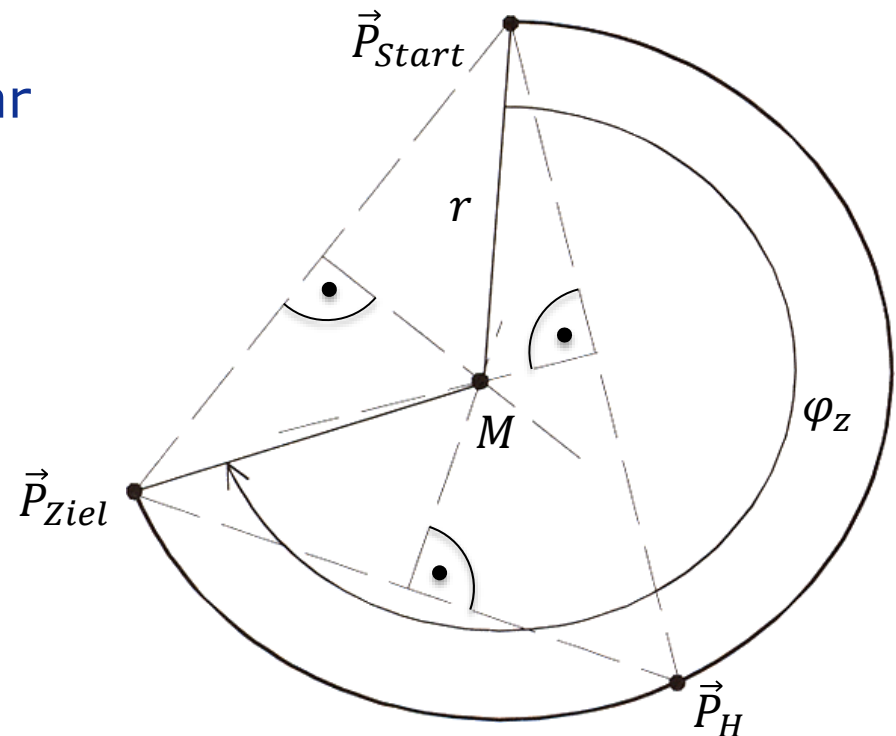
$$\vec{p}(t) = \vec{p}_{start} + s_p(t) \cdot \frac{(\vec{p}_{Ziel} - \vec{p}_{start})}{s_{ep}}$$

CP: Linearinterpolation

- Berechnung der Orientierungsänderung analog zur Vorgehensweise der Berechnung der Positionsänderung
- Gesamte Orientierungsänderung
$$s_{ew} = |\vec{w}_{Ziel} - \vec{w}_{Start}|$$
$$= \sqrt{(\alpha_{Ziel} - \alpha_{Start})^2 + (\beta_{Ziel} - \beta_{Start})^2 + (\gamma_{Ziel} - \gamma_{Start})^2}$$
- Positions- und Orientierungsänderungen sollten zum gleichen Zeitpunkt abgeschlossen werden
 - Fahrzeiten an die maximale anpassen
 - Entsprechende Reduzierung der Geschwindigkeiten
 - $t_e = \max(t_{ep}, t_{ew})$
- Zur Robotersteuerung müssen zu jedem Abtastzeitpunkt die berechneten kartesischen Lagen in Gelenksollwerte rücktransformiert werden

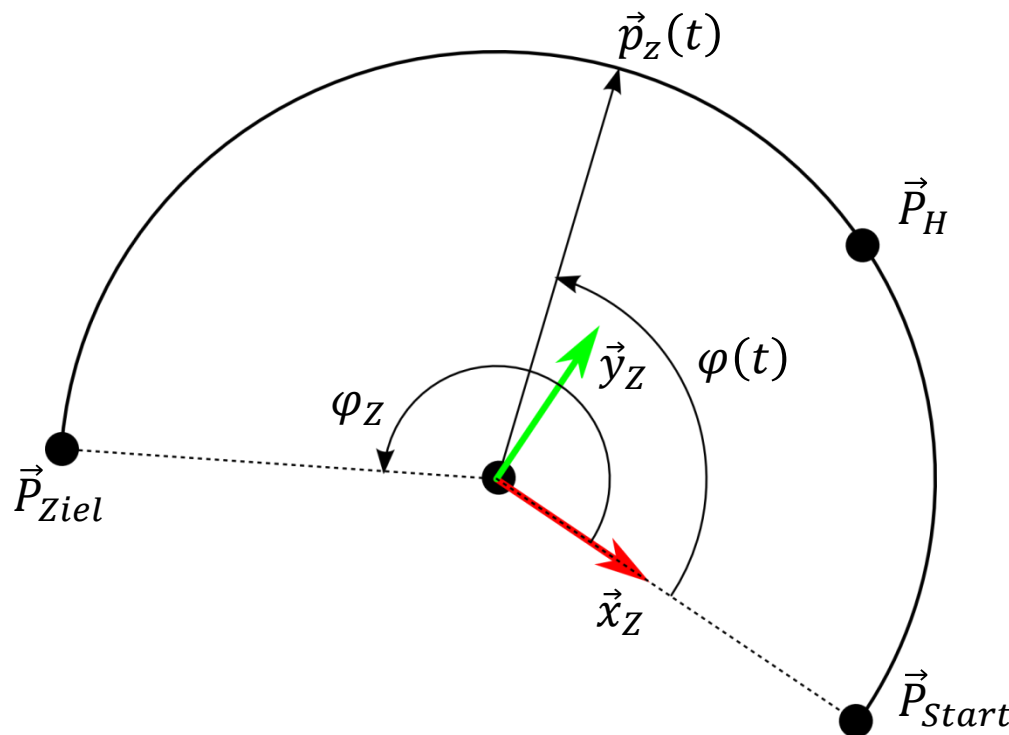
CP: Zirkularinterpolation

- Neben Geraden werden oft Kreisbögen zur Modellierung von Werkstückkonturen benötigt
- Einfachste Modellierung eines Kreisbogens durch Anfangspunkt \vec{P}_{Start} , Endpunkt \vec{P}_{Ziel} und Hilfspunkt \vec{P}_H
- Durch Schnittpunkt der Mittelsenkrechten bestimmbar
 - Kreismittelpunkt M
 - Radius r
 - Winkel φ_z



CP: Zirkularinterpolation

- Bahnparameter $s(t)$ beschreibt zurückgelegten Winkel $\varphi(t)$
- Berechenbar wie bei lin. CP durch Gleichungen der PTP
- Zur Berechnung der kartesischen Position wird Hilfskoordinatensystem XYZ_Z eingeführt



CP: Zirkularinterpolation

- Position $\vec{p}_Z(t)$ auf dem Kreisbogen in XYZ_Z lässt sich mit r und $\phi(t)$ berechnen

$$\vec{p}_Z(t) = \begin{pmatrix} r \cdot \cos(\phi(t)) \\ r \cdot \sin(\phi(t)) \\ 0 \end{pmatrix}$$

- $\vec{p}_Z(t)$ mit homogener Transformation ins BKS transformierbar
- Interpolation der Orientierung erfolgt auf gleiche Weise wie bei der Linearinterpolation
- Zur Robotersteuerung müssen zu jedem Abtastzeitpunkt die berechneten kartesischen Lagen in Gelenksollwerte rücktransformiert werden

CP: Segmentweise Interpolation

- Bewegungsbahn wird durch abschnittsweise definierte Polynome, sogenannte Splines, beschrieben
- Gängiger Fall: Kubische Splines
$$\vec{p}(t) = \vec{a}_3 \cdot t^3 + \vec{a}_2 \cdot t^2 + \vec{a}_1 \cdot t + \vec{a}_0$$
- $\vec{p}(t)$: Bahn zwischen den Ortsvektoren \vec{p}_{Start} und \vec{p}_{Ziel} , wobei die Bewegung Zeitspanne t_e dauern soll
- Es werden 4 Bedingungen benötigt, um Parameter \vec{a}_j eines Splines $\vec{p}(t)$ eindeutig bestimmen zu können
- Zwei Bedingungen können dadurch gewonnen werden, dass der Spline die Stützstellen interpolieren muss

$$\begin{aligned}\vec{p}(t = 0) &= \vec{p}_{Start} \\ \vec{p}(t = t_e) &= \vec{p}_{Ziel}\end{aligned}$$

CP: Segmentweise Interpolation

- Die beiden noch benötigten Bedingungen können mit Hilfe der gewünschten Geschwindigkeitsvektoren gewählt werden

$$\dot{\vec{p}}(t = 0) = \dot{\vec{p}}_{Start}$$

$$\dot{\vec{p}}(t = t_e) = \dot{\vec{p}}_{Ziel}$$

- Die vier Parameter berechnen sich ausgehend von den gewählten Bedingungen

$$\vec{a}_0 = \vec{p}_{Start}$$

$$\vec{a}_1 = \dot{\vec{p}}_{Start}$$

$$\vec{a}_2 = \frac{3}{t_e^2} (\vec{p}_{Ziel} - \vec{p}_{Start}) - \frac{1}{t_e} (\dot{\vec{p}}_{Ziel} + 2\dot{\vec{p}}_{Start})$$

$$\vec{a}_3 = -\frac{2}{t_e^3} (\vec{p}_{Ziel} - \vec{p}_{Start}) + \frac{1}{t_e^2} (\dot{\vec{p}}_{Ziel} + \dot{\vec{p}}_{Start})$$

CP: Segmentweise Interpolation – Beispiel

- Gegeben

$$\vec{p}_I = \begin{pmatrix} 0 \\ 0 \end{pmatrix}, \vec{p}_{II} = \begin{pmatrix} 1 \\ 2 \end{pmatrix}, \vec{p}_{III} = \begin{pmatrix} 2 \\ 1 \end{pmatrix}, \vec{p}_{IV} = \begin{pmatrix} 4 \\ 4 \end{pmatrix}, \dot{\vec{p}}_I = \dots = \dot{\vec{p}}_{IV} = \begin{pmatrix} 1 \\ 0 \end{pmatrix}, t_e = 1$$

- Lösung: Parameter für das erste Polynom; Andere analog

$$\vec{a}_0 = \vec{p}_I \quad \vec{a}_2 = \frac{3}{1}(\vec{p}_{II} - \vec{p}_I) - \frac{1}{1}(\dot{\vec{p}}_{II} + 2\dot{\vec{p}}_I)$$

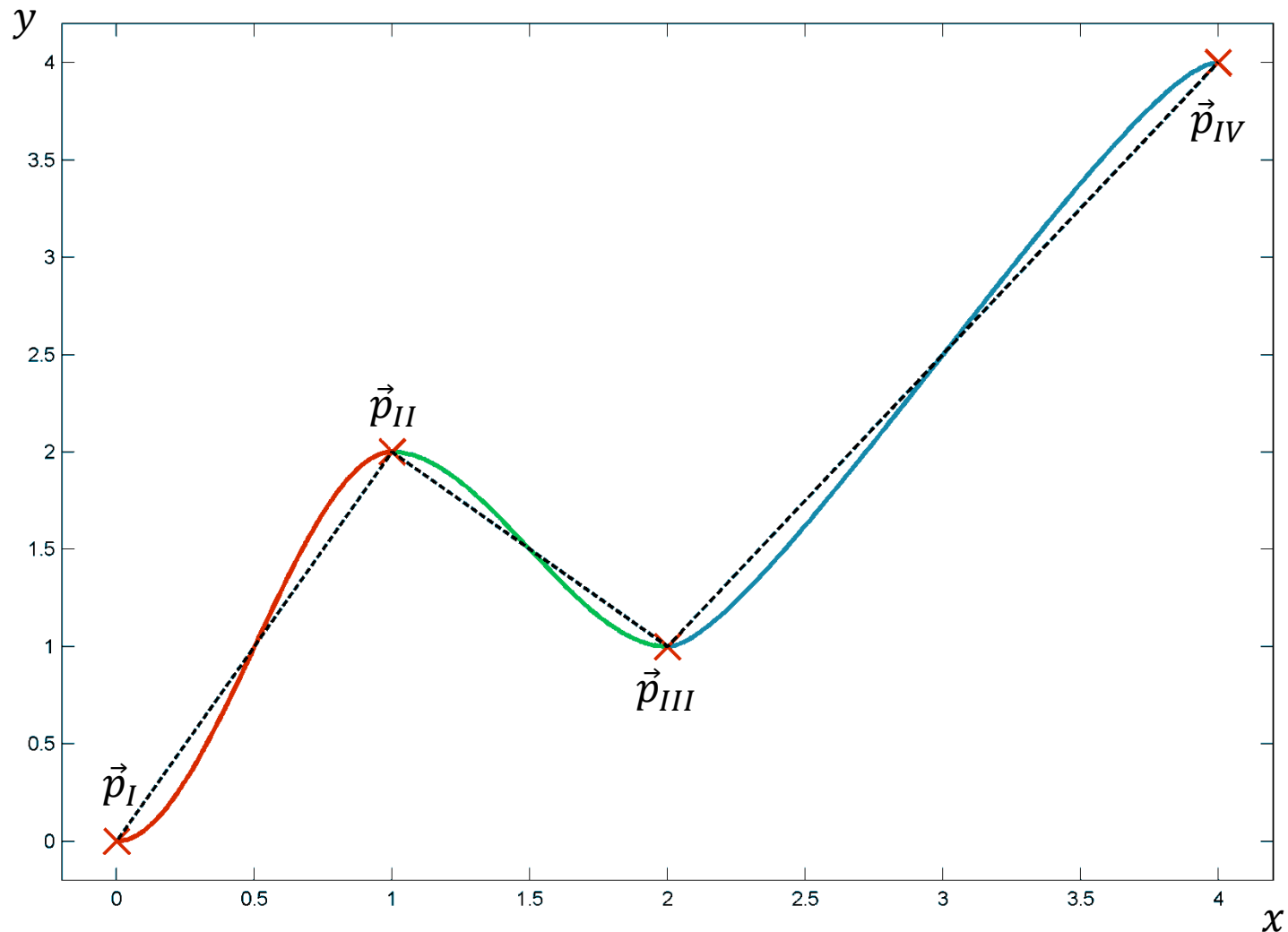
$$\vec{a}_1 = \dot{\vec{p}}_I \quad \vec{a}_3 = -\frac{2}{1}(\vec{p}_{II} - \vec{p}_I) + \frac{1}{1}(\dot{\vec{p}}_{II} + \dot{\vec{p}}_I)$$

$$\vec{p}_1(t) = \begin{pmatrix} 0 \\ -4 \end{pmatrix} \cdot t^3 + \begin{pmatrix} 0 \\ 6 \end{pmatrix} \cdot t^2 + \begin{pmatrix} 1 \\ 0 \end{pmatrix} \cdot t + \begin{pmatrix} 0 \\ 0 \end{pmatrix}$$

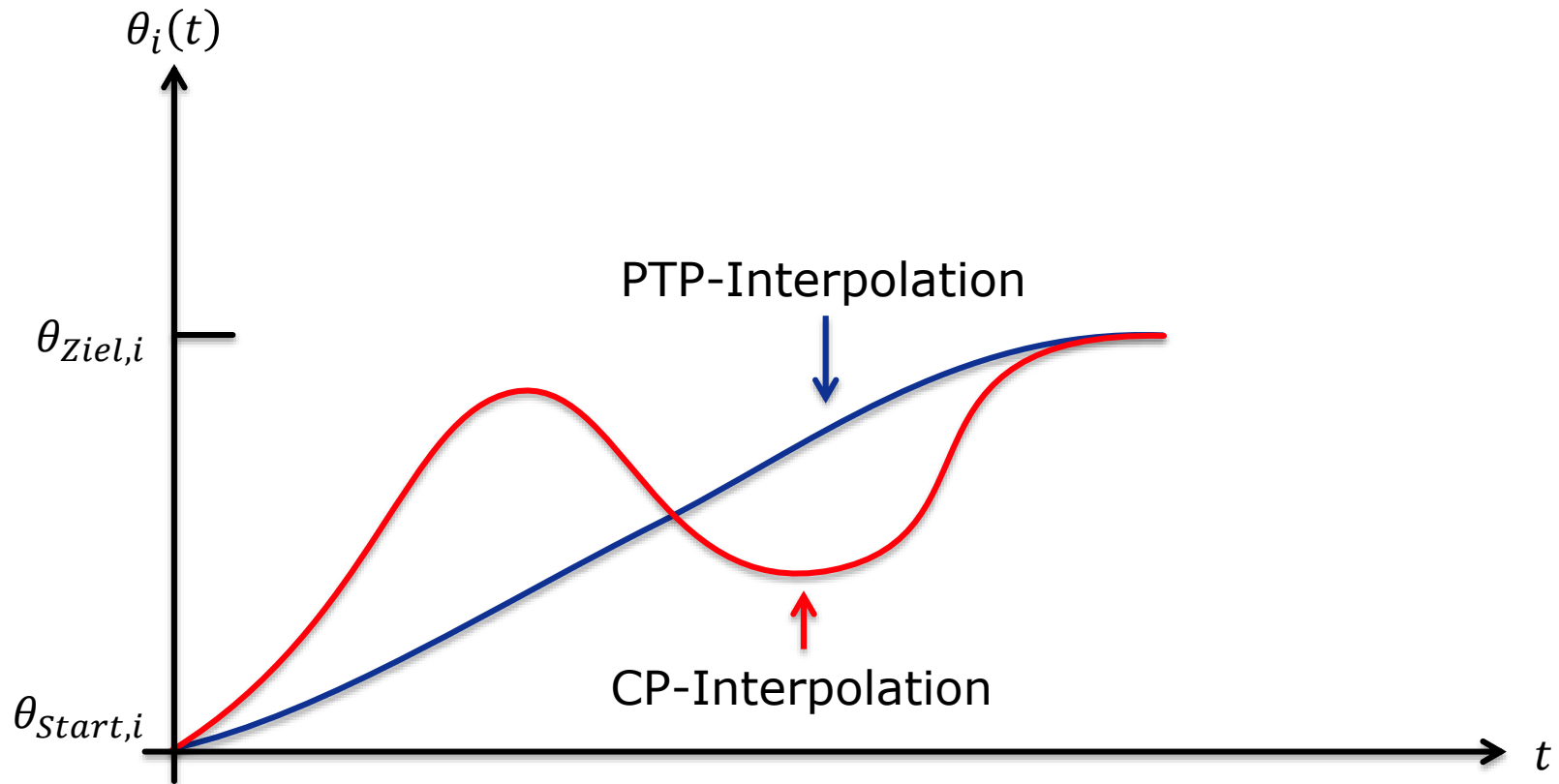
$$\vec{p}_2(t) = \begin{pmatrix} 0 \\ 2 \end{pmatrix} \cdot t^3 + \begin{pmatrix} 0 \\ -3 \end{pmatrix} \cdot t^2 + \begin{pmatrix} 1 \\ 0 \end{pmatrix} \cdot t + \begin{pmatrix} 1 \\ 2 \end{pmatrix}$$

$$\vec{p}_3(t) = \begin{pmatrix} -2 \\ -6 \end{pmatrix} \cdot t^3 + \begin{pmatrix} 3 \\ 9 \end{pmatrix} \cdot t^2 + \begin{pmatrix} 1 \\ 0 \end{pmatrix} \cdot t + \begin{pmatrix} 2 \\ 1 \end{pmatrix}$$

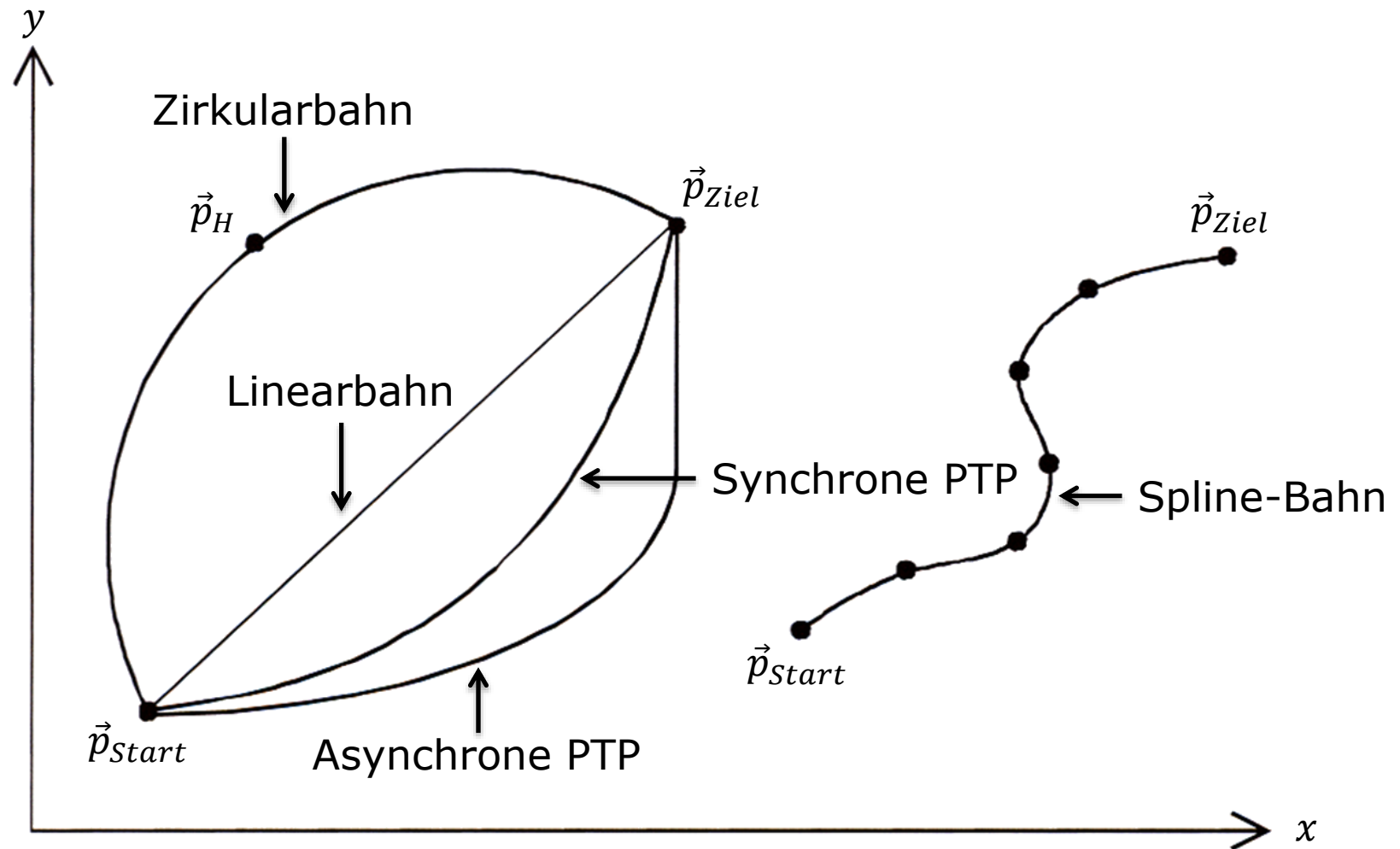
CP: Segmentweise Interpolation – Beispiel



Vergleich CP & PTP: Konfigurationsraum

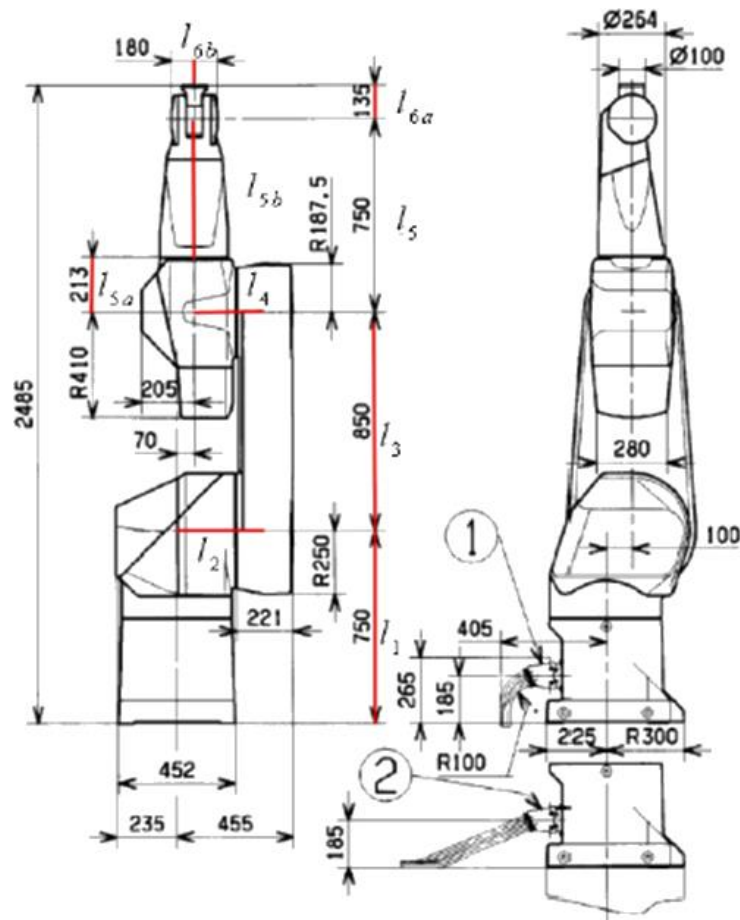


Vergleich CP & PTP: Kartesischer Raum



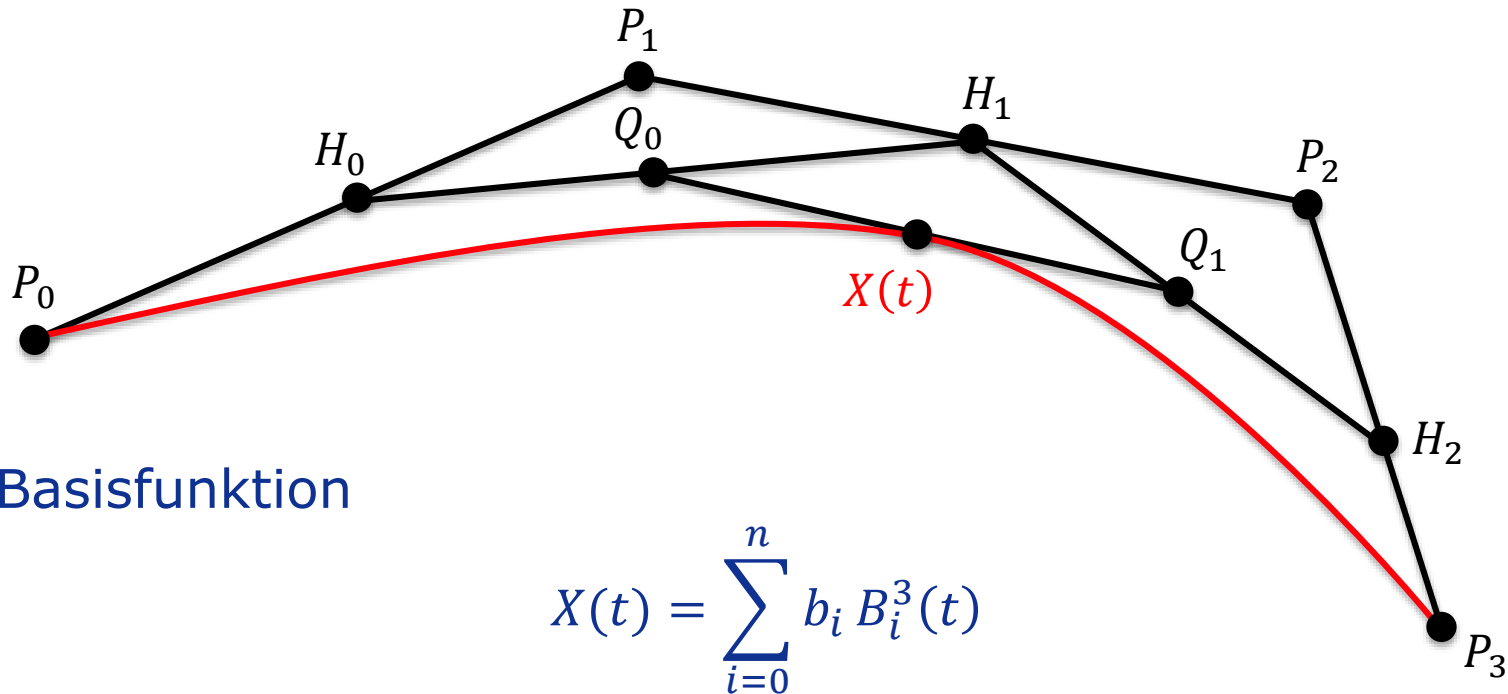
Spline-Interpolation: Bernsteinpolynome

Bestimmung einer geeigneten Bahn für Stäubli RX 170



Spline-Interpolation: Bernsteinpolynome

- Konstruktionsprinzip



- Basisfunktion

$$X(t) = \sum_{i=0}^n b_i B_i^3(t)$$

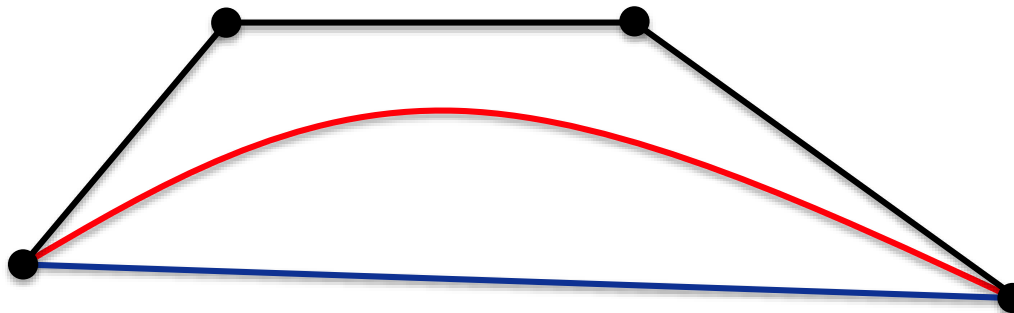
Spline-Interpolation: Zwischenstellungen

- Berechnung beliebiger Zwischenstellungen
- Bernsteinpolynom für kubischen Fall

$$B_i^n = \binom{3}{i} t(1-t)^{3-i}$$

$$\vec{x}(t) = P_0(1-t)^3 + P_1 \cdot 3(1-t)^2t + P_2(1-t)t^2 + P_3t^3$$

- Annähern von unten an Stützstellen
- Keine beliebige Form

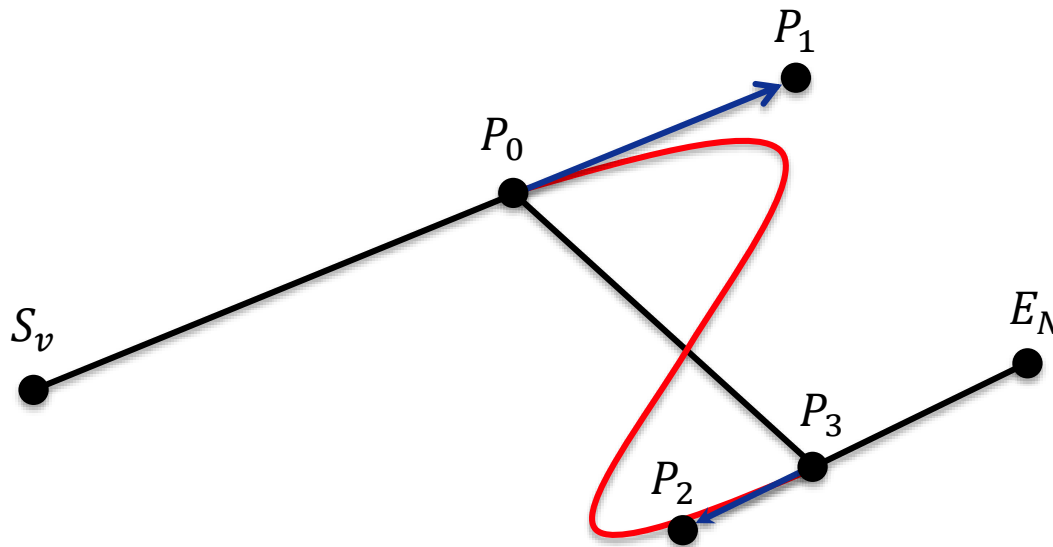


Spline-Interpolation: Stützstellen

Berechnung der Stützstellen für 2-dimensionalen Fall.

$$x(t) = P_{0x}(-t^3 + 3t^2 - 3t + 1) + P_{1x}(3t^3 - 6t^2 + 3t) + P_{2x}(-3t^3 + 3t^2) + P_{3x}t^3$$

$$y(t) = P_{0y}(-t^3 + 3t^2 - 3t + 1) + P_{1y}(3t^3 - 6t^2 + 3t) + P_{2y}(-3t^3 + 3t^2) + P_{3y}t^3$$



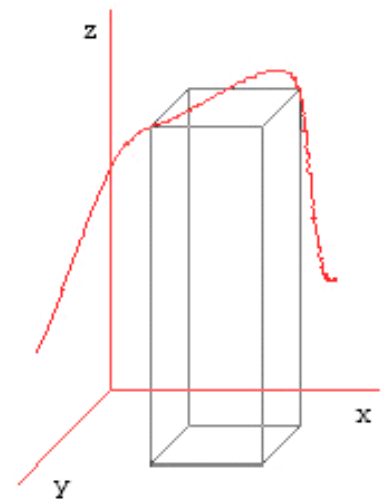
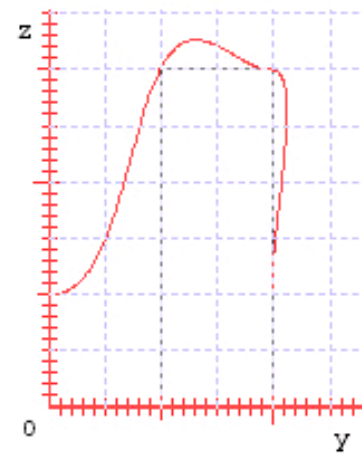
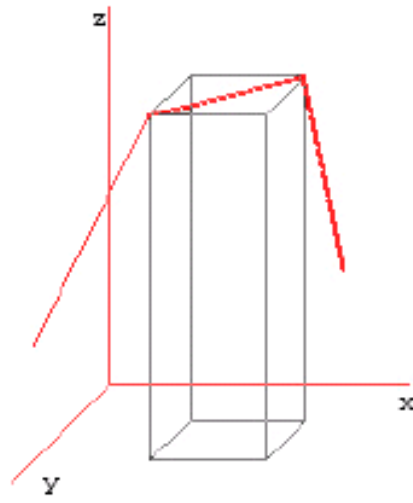
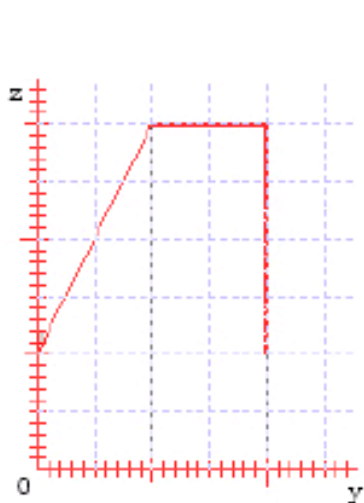
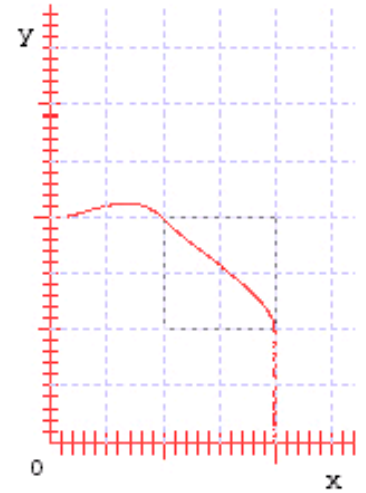
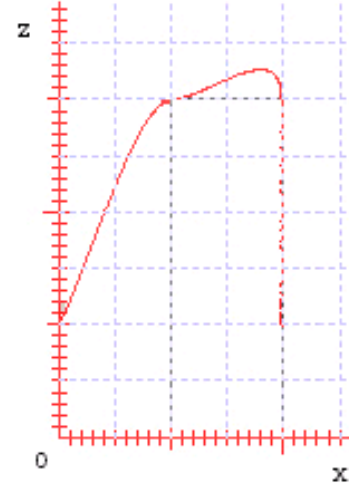
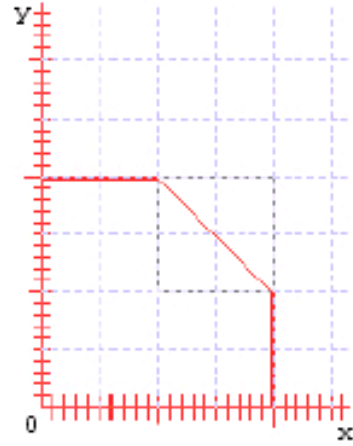
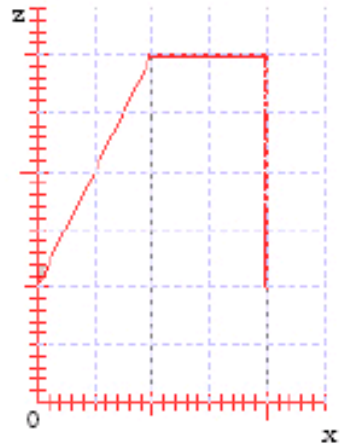
$$P_{1,x} = P_{0,x} + \tau(P_{0,x} - S_v)$$

$$P_{2,x} = P_{3,x} + \tau(P_{3,x} - E_N)$$

$$P_{1,y} = P_{0,y} + \tau(P_{3,y} - P_{0,y})$$

$$P_{2,y} = P_{3,y} + \tau(P_{0,y} - P_{3,y})$$

Beispiel: Spline mit 3 Segmenten $\tau = 1, \tau = 1.3$



Literatur

- Weber, W. (2002),
Industrieroboter – Methoden der Steuerung und Regelung,
Fachbuchverlag Leipzig
- Stark, G. (2009),
Robotik mit MATLAB,
Fachbuchverlag Leipzig

Nächste Vorlesung

Greifplanung

- Griffhierarchie
- Greifplanungssysteme
- Umgreifoperationen
- Szenenstabilität